

# Het gebruik van de normalen bij het bouwen van BSP acceleratiestructuren

Thesisverdediging

Jesse Hoobergs  
KU Leuven  
Juni 2019

Promotor:  
Prof. dr. ir. Ph. Dutré

# 0    Overzicht

- ① Inleiding
- ②  $BSP$  bomen
- ③  $BSP_{SWEEP}$
- ④ Implementatie
- ⑤ Resultaten
- ⑥ Conclusie

# 1 Outline

① Inleiding

② *BSP* bomen

③ *BSP<sub>SWEEP</sub>*

④ Implementatie

⑤ Resultaten

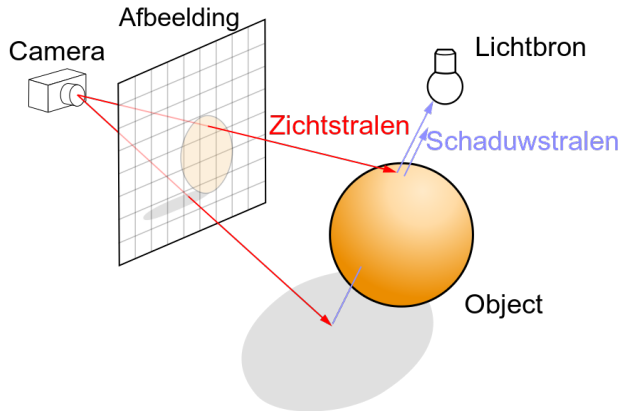
⑥ Conclusie

# 1 Ray tracing

- ▶ Fysisch gebaseerd renderen
- ▶ Stralen volgen door een scene

# 1 Ray tracing

- Fysisch gebaseerd renderen
- Stralen volgen door een scene



Gebaseerd op een afbeelding op [https://en.wikipedia.org/wiki/Ray\\_tracing\\_\(graphics\)](https://en.wikipedia.org/wiki/Ray_tracing_(graphics))

# 1 Ray tracing

## ► Praktische aantallen:

- 1 miljoen pixels
- 1 miljoen driehoeken (mogelijks veel meer)
- 100 stralen per pixel

# 1 Ray tracing

## ► Praktische aantallen:

- 1 miljoen pixels
- 1 miljoen driehoeken (mogelijks veel meer)
- 100 stralen per pixel

⇒  $10^{14}$  straal-driehoekintersecties

# 1 Ray tracing

## ► Praktische aantallen:

- 1 miljoen pixels
- 1 miljoen driehoeken (mogelijks veel meer)
- 100 stralen per pixel

⇒  $10^{14}$  straal-driehoekintersecties

⇒ Acceleratiestructuren



# 1 Acceleratiestructuren

## ► Doel:

- Totale rendertijd minimaliseren
- Straal-driehoekintersecties te verminderen

# 1 Acceleratiestructuren

## ► Doel:

- Totale rendertijd minimaliseren
- Straal-driehoekintersecties te verminderen

## ► Simpelste versie

- Omhullende volume van scene (balk, bol, etc)
- Test intersectie met omhullend volume
  - Intersectie: Test alle driehoeken
  - Geen intersectie: Test nul driehoeken
- Recursief opdelen tot boomstructuur

# 1 Acceleratiestructuren

## ► Doel:

- Totale rendertijd minimaliseren
- Straal-driehoekintersecties te verminderen

## ► Simpelste versie

- Omhullende volume van scene (balk, bol, etc)
- Test intersectie met omhullend volume
  - Intersectie: Test alle driehoeken
  - Geen intersectie: Test nul driehoeken
- Recursief opdelen tot boomstructuur

## ► Twee manieren van opdelen:

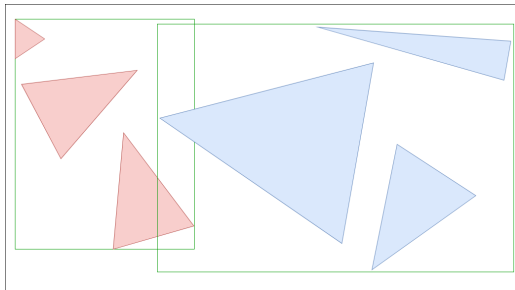
- Volgens objecten
- Volgens volume

# 1 Opdelen volgens object

- ▶ Driehoeken opgedeeld in disjuncte groepen
- ▶ Kindvolumes = omhullende volumes groepen
- ▶ Elke driehoek in exact één kindvolume
- ▶ Kindvolumes kunnen overlappen in de ruimte

# 1 Opdelen volgens object

- ▶ Driehoeken opgedeeld in disjuncte groepen
- ▶ Kindvolumes = omhullende volumes groepen
- ▶ Elke driehoek in exact één kindvolume
- ▶ Kindvolumes kunnen overlappen in de ruimte

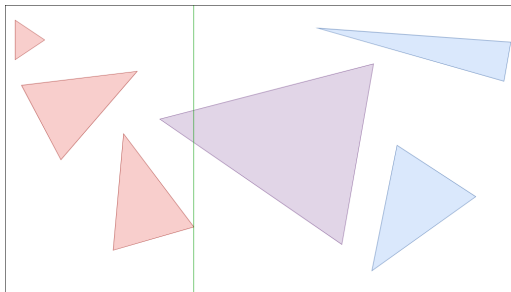


# 1 Opdelen volgens ruimte

- ▶ Volume opgedeeld in disjuncte groepen
- ▶ Splitsing via *splitsingsvlakken*
- ▶ Elke driehoek in minstens één kindvolume
- ▶ Kindvolumes overlappen niet in de ruimte

# 1 Opdelen volgens ruimte

- ▶ Volume opgedeeld in disjuncte groepen
- ▶ Splitsing via *splitsingsvlakken*
- ▶ Elke driehoek in minstens één kindvolume
- ▶ Kindvolumes overlappen niet in de ruimte



# 1 *BSP* bomen

- ▶ *Binary Space Partitioning* bomen
- ▶ Delen volgens ruimte
- ▶ Delen steeds in 2 kindvolumes
- ▶ Splitsing via willekeurige vlakken in de ruimte
- ▶ *Kd* boom:
  - Enkel asgealigneerde vlakken
  - Computationale voordelen bij bouwen en renderen
  - Meest gebruikte *BSP* boom
- ▶ Algemene *BSP* boom:
  - Veel meer mogelijke splitsingsvlakken
  - Moeilijk om goede te vinden



# 1 Doel thesis

- ▶ Algemene  $BSP$  boom
- ▶ Normalen van driehoeken
- ▶ Goede splitsingsvlakken
- ▶  $BSP_{SWEEP}$  boom

## 2 Outline

- ① Inleiding
- ② *BSP* bomen
- ③ *BSP<sub>SWEEP</sub>*
- ④ Implementatie
- ⑤ Resultaten
- ⑥ Conclusie

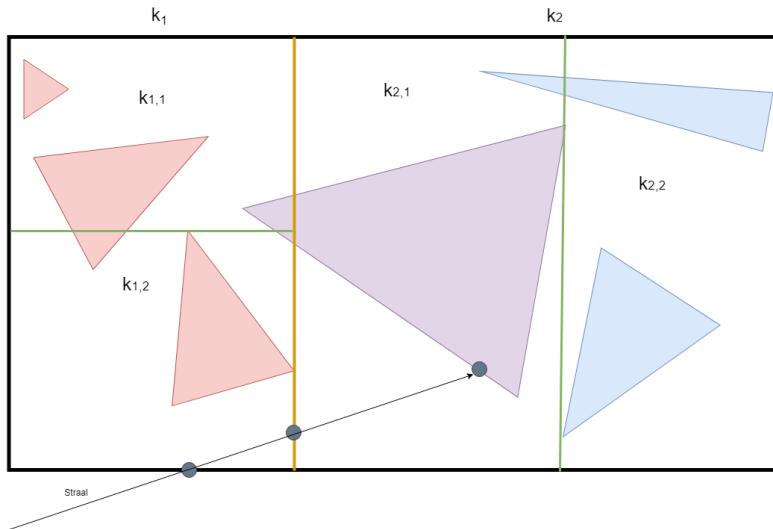
## 2 *BSP* bomen

- ▶ Bouwen
- ▶ Intersecteren
- ▶ Bestaande *BSP* bomen

## 2 Bouwen *BSP* boom

- ▶ Wortelknoop
  - Volume = omhullende balk scene
  - Bevat alle driehoeken
- ▶ Splits in twee kindknopen
  - Splits het volume volgens een splitsingsvlak
  - Maak twee kindknopen, één voor elk volumedeel
  - Bepaal voor elke kindknoop de driehoeken
- ▶ Splits kindknopen recursief tot stopconditie

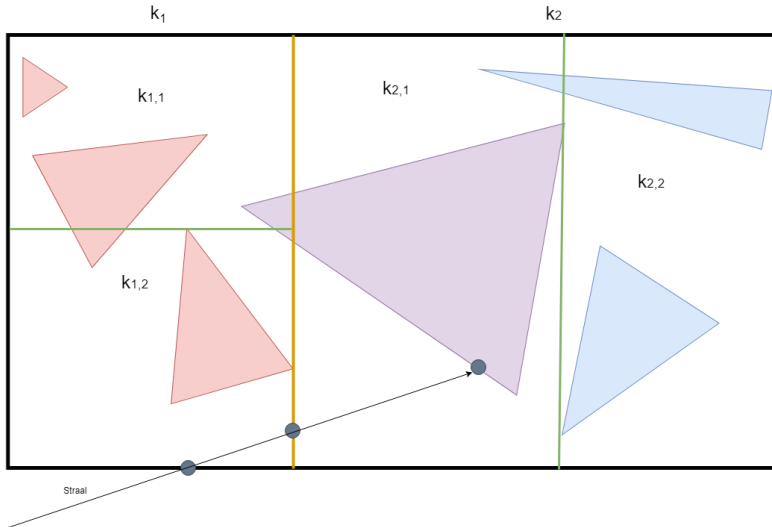
## 2 Bouwen *BSP* boom



## 2 Intersecteren *BSP* boom

- ▶ Bepaal intersectie straal met wortelknoop:
  - geen intersectie: geen intersecterende driehoek
  - anders: doorkruis de wortelknoop
- ▶ Doorkruisen knoop
  - Inwendige knoop
    - Bepaal intersectie straal met splitsingsvlak
    - Bepaal de volgorde waarin de straal door de kindknopen gaat
    - Doorkruis de kindknopen in deze volgorde
  - Bladknoop
    - Bepaal voor elke driehoek de straal-driehoek intersectie

## 2 Intersecteren *BSP* boom



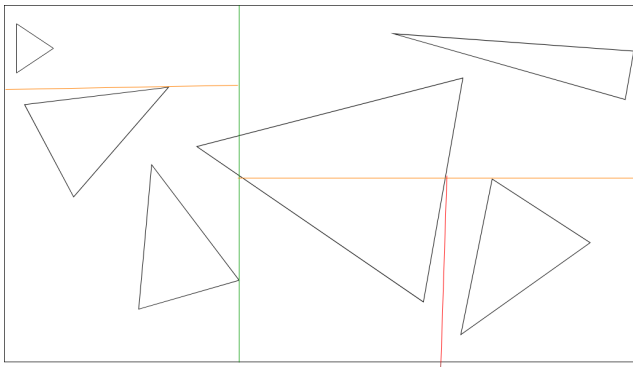
## 2 *Kd boom*

- ▶ Enkel asgealigneerde splitsingsvlakken
  - Volume elke knoop = asgealigneerde balk
  - Goedkoper doorkruisen inwendige knoop
  - Kunnen zich minder goed aanpassen aan scene



## 2 *Kd boom*

- ▶ Enkel asgealigneerde splitsingsvlakken
  - Volume elke knoop = asgealigneerde balk
  - Goedkoper doorkruisen inwendige knoop
  - Kunnen zich minder goed aanpassen aan scene



## 2 Bepalen beste splitsingsvlak

- ▶ Bepaal kost na splitsen volgens vlak
- ▶ Kies beste splitsingsvlak of splits niet

## 2 Bepalen beste splitsingsvlak

- ▶ Bepaal kost na splitsen volgens vlak
- ▶ Kies beste splitsingsvlak of splits niet
- ▶ *Surface Area* heuristiek
  - Kans om kindknoop te doorkruisen is evenredig met oppervlakte
  - Kost knoop evenredig met aantal driehoeken
  - Na splitsing zijn beide kindknopen bladknopen
  - $\mathcal{K}_p = \frac{SA(l)}{SA(p)} * n_l * \mathcal{K}_i + \frac{SA(r)}{SA(p)} * n_r * \mathcal{K}_i + \mathcal{K}_d$
  - Kost om niet te splitsen:  $n_l * \mathcal{K}_i$

## 2 Bepalen beste splitsingsvlak

- ▶ Bepaal kost na splitsen volgens vlak
- ▶ Kies beste splitsingsvlak of splits niet
- ▶ *Surface Area* heuristiek
  - Kans om kindknoop te doorkruisen is evenredig met oppervlakte
  - Kost knoop evenredig met aantal driehoeken
  - Na splitsing zijn beide kindknopen bladknopen
  - $\mathcal{K}_p = \frac{SA(l)}{SA(p)} * n_l * \mathcal{K}_i + \frac{SA(r)}{SA(p)} * n_r * \mathcal{K}_i + \mathcal{K}_d$
  - Kost om niet te splitsen:  $n_l * \mathcal{K}_i$
- ▶ Alle asgealigneerde vlakken testen is onhaalbaar
  - Havran: slechts  $2n$  mogelijke splitsingsvlakken per richting
  - *SA* kost stijgt/daalt monotoon tussen eindpunten driehoeken langs die richting
  - Enkel asgealigneerde vlakken door eindpunten testen

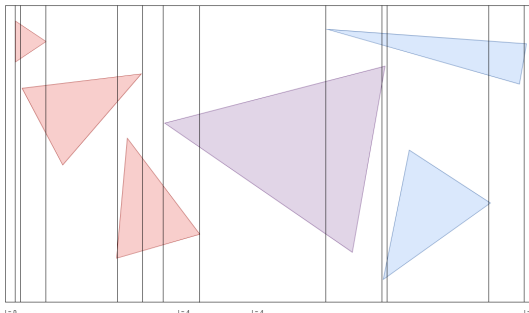
## 2 Bepalen beste splitsingsvlak

### ► $SA$ kost berekenen

- Aantal driehoeken in beide kindknopen nodig
- Oppervlaktes beide kindknopen nodig

## 2 Bepalen beste splitsingsvlak

- ▶ *SA* kost berekenen
  - Aantal driehoeken in beide kindknopen nodig
  - Oppervlaktes beide kindknopen nodig
- ▶ *Sweeping*
  - Sorteer driehoeken volgens eindknopen langs as
  - 'Veeg' over de as en update  $n_l$  en  $n_r$

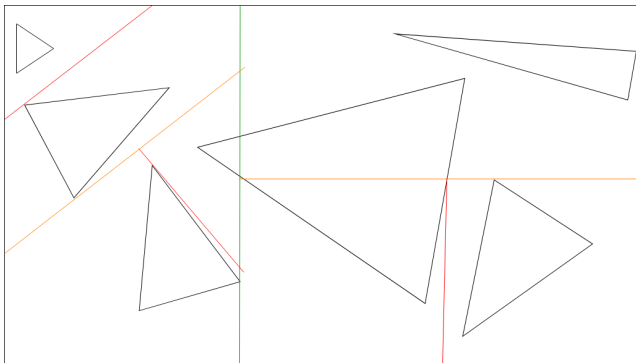


## 2 *RBSP* boom

- ▶ Enkel splitsingsrichtingen uit vaste verzameling van  $k$  richtingen
  - Volume elke knoop =  $k - DOP$
  - Duurder doorkruisen inwendige knoop
  - Kunnen niet alle niet-intersecterende driehoeken scheiden

## 2 *RBSP* boom

- ▶ Enkel splitsingsrichtingen uit vaste verzameling van  $k$  richtingen
  - Volume elke knoop =  $k - DOP$
  - Duurder doorkruisen inwendige knoop
  - Kunnen niet alle niet-intersecterende driehoeken scheiden





## 2 Praktisch

- ▶ Bepalen vaste verzameling splitsingsrichtingen
  - Belangrijk dat ze samen de eenheidsbol goed bedekken
- ▶  $SA$  kost kan gebruikt worden, inclusief *sweeping*
- ▶ Oppervlakte  $k - DOP$  berekenen is duurder
- ▶ Ten opzichte van  $Kd$  boom
  - Minder straal-driehoekintersecties
  - Tragere inwendige knoopdoorkruising
  - Tragere rendertijd

## 2 $BSP_{IZE}$ boom

- ▶ Enige bestaande algemene  $BSP$  boom bij rendering
- ▶ Geometrie-afhankelijke splitsingsvlakken
  - De asgealigneerde vlakken van  $Kd$  boom
  - Vlak door elke driehoek
  - Drie vlakken door zijde driehoek en loodrecht op driehoek
- ▶ Volume elke knoop = convex veelvlak
- ▶ Sweeping
  - Mogelijk voor de  $Kd$  richtingen
  - Niet mogelijk voor de vier andere vlakken per driehoek
    - $BVH$  hulpstructuur nodig om  $n_l$  en  $n_r$  efficiënt te berekenen
    - Tragere bouwtijd

## 2 $BSP_{IZE}^{Kd}$ boom

- Optimalisatie

## 2 $BSP_{IZE}^{Kd}$ boom

- ▶ Optimalisatie
- ▶ Inwendige  $Kd$  knopen bevoordelen
  - Sneller te doorkruisen dan  $BSP$  knopen
  - Lagere doorkruiskost in  $SA$  kost dan inwendige  $BSP$  knopen

## 2 $BSP_{IZE}^{Kd}$ boom

- ▶ Optimalisatie
- ▶ Inwendige  $Kd$  knopen bevoordelen
  - Sneller te doorkruisen dan  $BSP$  knopen
  - Lagere doorkruiskost in  $SA$  kost dan inwendige  $BSP$  knopen
- ▶ Aanpassing  $SA$  heuristiek
  - Aparte  $\mathcal{K}_{d,Kd}$  en  $\mathcal{K}_{d,BSP}$

## 2 $BSP_{IZE}^{Kd}$ boom

- ▶ Optimalisatie
- ▶ Inwendige  $Kd$  knopen bevoordelen
  - Sneller te doorkruisen dan  $BSP$  knopen
  - Lagere doorkruiskost in  $SA$  kost dan inwendige  $BSP$  knopen
- ▶ Aanpassing  $SA$  heuristiek
  - Aparte  $\mathcal{K}_{d,Kd}$  en  $\mathcal{K}_{d,BSP}$
  - Rechtstreeks gebruiken in  $SA$  kost werkt niet
    - $SA$  kost varieert lineair in aantal driehoeken
    - $BSP$  knopen splitsen beter
    - Bijna enkel  $BSP$  knopen gebruikt

## 2 $BSP_{IZE}^{Kd}$ boom

- ▶ Optimalisatie
- ▶ Inwendige  $Kd$  knopen bevoordelen
  - Sneller te doorkruisen dan  $BSP$  knopen
  - Lagere doorkruiskost in  $SA$  kost dan inwendige  $BSP$  knopen
- ▶ Aanpassing  $SA$  heuristiek
  - Aparte  $\mathcal{K}_{d,Kd}$  en  $\mathcal{K}_{d,BSP}$
  - Rechtstreeks gebruiken in  $SA$  kost werkt niet
    - $SA$  kost varieert lineair in aantal driehoeken
    - $BSP$  knopen splitsen beter
    - Bijna enkel  $BSP$  knopen gebruikt
  - $\mathcal{K}_{d,BSP}$  lineair afhankelijk van aantal driehoek
    - $\mathcal{K}_{d,BSP} = \alpha * \mathcal{K}_i * (n - 1) + \mathcal{K}_{d,Kd}$
    - Beste splitsingsvlak zoeken
    - Indien niet gevonden, vaste  $\mathcal{K}_{d,BSP}$

## 2 Vergelijking

- ▶ Ten opzichte van  $Kd$  boom
  - Geen volledige sweeping mogelijk
  - Minder straal-driehoekintersecties
  - Gemiddeld lichtjes tragere inwendige knoopdoorkruising
  - Lichtjes snellere rendertijd



## 2 Vergelijking

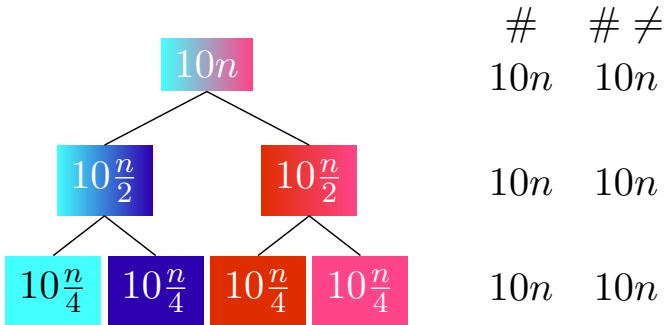
- ▶ Ten opzichte van  $Kd$  boom
  - Geen volledige sweeping mogelijk
  - Minder straal-driehoekintersecties
  - Gemiddeld lichtjes tragere inwendige knoopdoorkruising
  - Lichtjes snellere rendertijd
- ▶ Ten opzichte van  $RBSP$  boom
  - Duurdere bouwtijd
  - Beide kunnen snelle  $Kd$  doorkruising gebruiken

## 2 Vergelijking

- ▶ Aantal splitsingsvlakken per niveau
  - $Kd$ :  $6n$
  - $RBSP$ :  $2kn$
  - $BSP_{IZE}$ :  $10n$
- ▶ Totaal aantal verschillende geteste splitsingsvlakken
  - $Kd$ :  $6n$
  - $RBSP$ :  $2kn$
  - $BSP_{IZE}$ :  $10n$
- ▶ Zelfs  $BSP_{IZE}$  gebruikt niet volledige vrijheid

## 2 Aantal splitsingsvlakken

- Zelfde splitsingsvlakken op elk niveau (bv  $BSP_{IZE}$ )



- Driehoeken die in het bovenste niveau niet gesplitst kunnen worden
  - Kunnen in geen enkel niveau van elkaar gesplitst worden

### 3 Outline

- ① Inleiding
- ②  $BSP$  bomen
- ③  $BSP_{SWEEP}$
- ④ Implementatie
- ⑤ Resultaten
- ⑥ Conclusie

### 3 Concept

- ▶ Algemene *BSP* boom
- ▶ Geometrie-afhankelijke splitsingsrichtingen
  - In elke knoop  $k$  richtingen bepaald
  - Richtingen kunnen afhankelijk zijn van driehoeken in knoop
  - *Sweeping* over deze richtingen
  - Geen hulpstructuur nodig
- ▶ Drie ontwerpbeslissingen
  - Methode gebruikt om de  $k$ -richtingen te bepalen
  - Waarde van  $k$
  - $Kd$  richtingen altijd gebruiken of niet ?
- ▶ *RBSP* boom is  $BSP_{SWEEP}$  boom met steeds zelfde richtingen

### 3 Bepalen k-richtingen

#### ► $BSP_{random}$

- Willekeurige richtingen (uniform op hemisfeer)
- Idee: met veel verschillende (mogelijks slechte) vlakken proberen te splitsen
- Kans op splitsing door willekeurige richting even groot als door  $Kd$  richting

#### ► $BSP_{wn}$

- Normalen van willekeurige driehoeken in de knoop
- Idee: splitsen volgens oriëntatie driehoeken
- Maakt gebruik van welke driehoeken samen in een knoop zitten

#### ► $BSP_{cn}$

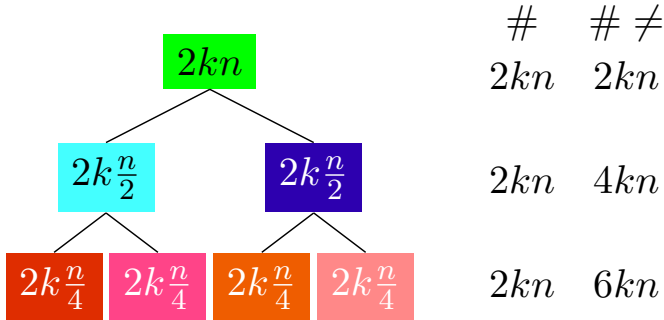
- Clustercentra van normalen van de driehoeken in de knoop
- Idee: splitsen volgens veelvoorkomende oriëntaties
- Maakt gebruik van welke driehoeken samen in een knoop zitten

### 3 Kd richtingen gebruiken ?

- ▶  $k$  richtingen genereren
  - $BSP_{random}$
  - $BSP_{wn}$
  - $BSP_{cn}$
- ▶  $Kd$  richtingen en  $k - 3$  richtingen genereren
  - $Kd$  richtingen behandelen als  $BSP$  richtingen
    - $BSP_{random+}$
    - $BSP_{wn+}$
    - $BSP_{cn+}$
  - $Kd$  richtingen apart behandelen
    - $BSP_{random+}^{Kd}$
    - $BSP_{wn+}^{Kd}$
    - $BSP_{cn+}^{Kd}$

### 3 Aantal splitsingsvlakken

- ▶ Andere splitsingsvlakken op elk niveau



- ▶ Driehoeken die in het bovenste niveau niet gesplitst kunnen worden
  - Kunnen op lagere niveaus misschien wel gesplitst worden
  - $\mathcal{O}(n \log(n))$  verschillende splitsingsvlakken ipv  $\mathcal{O}(n)$



## 4 Outline

- ① Inleiding
- ②  $BSP$  bomen
- ③  $BSP_{SWEEP}$
- ④ Implementatie
- ⑤ Resultaten
- ⑥ Conclusie

## 4 Implementatie

- ▶ Pbrt-v3 renderer
- ▶ Enkel op de CPU
- ▶ Bouwen is niet geparallelliseerd
- ▶ Geïmplementeerde *BSP* bomen:
  - $Kd$
  - $RBSP$  en  $RBSP^{Kd}$
  - $BSP_{IZE}$  en  $BSP_{IZE}^{Kd}$
  - $BSP_{random(+)}^{(Kd)}$ ,  $BSP_{wn(+)}^{(Kd)}$  en  $BSP_{cn(+)}^{(Kd)}$

## 5 Outline

- ① Inleiding
- ②  $BSP$  bomen
- ③  $BSP_{SWEEP}$
- ④ Implementatie
- ⑤ Resultaten
- ⑥ Conclusie

## 5 Scenes



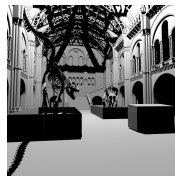
(a) Killeroo Been scene



(b) Sponza scene



(c) Conference scene



(d) Museum scene

- ▶ Killeroo: 33264 driehoeken
- ▶ Sponza: 227309 driehoeken
- ▶ Conference: 123651 driehoeken
- ▶ Museum: 1462840 driehoeken

## 5 Twee experimenten

- ▶ Afhangelijkheid van het aantal richtingen  $k$  bij  $BSP_{SWEEP}$ 
  - Eerste drie scenes zeven keer gerenderd
    - Voor elk  $k$ -waarde van 2 tem 10
    - Voor elk van de negen  $BSP_{SWEEP}$  bomen
  - Uitvoering met rendertijd = mediaan zeven rendertijden gebruikt als representatieve
- ▶ Vergelijking met de andere  $BSP$  bomen
  - Alle vier scenes zeven keer gerenderd
    - Voor elke besproken bestaande  $BSP$  boom
    - Voor  $BSP_{random+}^{Kd}$ ,  $BSP_{wn+}^{Kd}$ ,  $BSP_{cn+}^{Kd}$  met optimale  $k$ -waarde
  - Uitvoering met rendertijd = mediaan zeven rendertijden gebruikt als representatieve

## 5 Afhankelijkheid van het aantal richtingen

### ► Bouwtijd

- Twee ordegroottes groter dan bouwtijd  $Kd$  boom
- Afhankelijkheid van  $k$ 
  - $BSP_{random(+)}^{(Kd)}$  lineair
  - $BSP_{wn(+)}^{(Kd)}$  en  $BSP_{cn(+)}^{(Kd)}$ : sublineair
- Op zelfde wijze afhankelijk van aantal driehoeken als  $Kd$  boom
- Gebruik convex veelvlak is ongeveer 25 keer trager dan asgealigneerde balk

## 5 Afhankelijkheid van het aantal richtingen

### ► Aantal knopen

- Stijgt met stijgende  $k$ , maar vlakt snel af
- $BSP_{random(+)}^{(Kd)}$ : 1.8 - 2 keer zoveel knopen als  $Kd$  boom
- $BSP_{wn(+)}^{(Kd)}$  en  $BSP_{cn(+)}^{(Kd)}$ : 1.2 - 1.3 keer zoveel knopen als  $Kd$  boom

### ► Procentueel aantal $Kd$ knopen

- Daalt met stijgende  $k$ , maar vlakt snel af
- $BSP_{random+}^{Kd}$ : 20% - 35 %
- $BSP_{wn+}^{Kd}$  en  $BSP_{cn+}^{Kd}$ : 30% - 45 %
- Afhankelijkheid van de diepte
  - Bovenste niveaus: bijna enkel  $Kd$  knopen
  - Onderste niveaus: bijna enkel  $BSP$  knopen

## 5 Rendertijd

- ▶  $BSP_{SWEEP}$  boom zonder  $Kd$  richtingen
  - Daalt sterk met stijgende  $k$
  - Enkel sneller dan  $Kd$  boom bij Killeroo Been scene
  - Daalt tot ongeveer 1.8 keer ( $BSP_{random}$ ) en 1.3 keer ( $BSP_{wn}$  en  $BSP_{cn}$ ) trager
- ▶  $BSP_{SWEEP}$  boom met  $Kd$  richtingen als  $BSP$  richtingen
  - Daalt lichtjes met stijgende  $k$  en stijgt dan voor grotere  $k$ -waarden
  - Bij minstens één  $k$ -waarde sneller dan  $Kd$  boom
  - $BSP_{random+}$  trager dan  $BSP_{wn+}$  en  $BSP_{cn+}$
- ▶  $BSP_{SWEEP}$  boom met  $Kd$  richtingen apart behandeld
  - Daalt met stijgende  $k$
  - Bij elk  $k$ -waarde sneller dan  $Kd$  boom
    - $BSP_{wn+}^{Kd}$  en  $BSP_{cn+}^{Kd}$ : daalt al minstens 15% voor  $k = 4$
  - $BSP_{random+}^{Kd}$  trager dan  $BSP_{wn+}^{Kd}$  en  $BSP_{cn+}^{Kd}$



## 5 Afhankelijkheid van het aantal richtingen

### ► Aantal intersecties

- Verloop in functie van  $k$  zoals rendertijd
- $BSP_{wn+}^{Kd}$  en  $BSP_{cn+}^{Kd}$ :
  - daling tot 40%
  - vlak vanaf een  $k$ -waarde van 5
- $BSP_{random+}^{Kd}$ :
  - daling tot 40%
  - daalt trager maar monotoon in functie van  $k$

## 5 Afhankelijkheid van het aantal richtingen

### ► Aantal doorkruisingen

- $BSP_{wn+}^{Kd}$  en  $BSP_{cn+}^{Kd}$ :
  - evenveel als  $Kd$  boom
  - onafhankelijk van  $k$
- $BSP_{random+}^{Kd}$ :
  - stijgt tot 10% meer dan  $Kd$  boom
  - stijgt traag en monotoon in functie van  $k$

### ► Procentueel aantal $Kd$ doorkruisingen

- $BSP_{wn+}^{Kd}$  en  $BSP_{cn+}^{Kd}$ :
  - 85% - 90%
  - vlak vanaf  $k$ -waarde van 5
- $BSP_{random+}^{Kd}$ :
  - 80% - 90%
  - daalt traag en monotoon in functie van  $k$

## 5 Vergelijking bestaande bomen

### ► Nieuwe bomen

- $BSP_{random+}^{Kd}$  met  $k = 10$
- $BSP_{wn+}^{Kd}$  met  $k = 6$
- $BSP_{cn+}^{Kd}$  met  $k = 6$
- $RBSP^{Kd}$  met  $k = 13$

### ► Bestaande bomen

- $Kd$
- $RBSP$  met  $k = 13$
- $BSP_{IZE}$
- $BSP_{IZE}^{Kd}$

## 5 Rendertijd en Bouwtijd

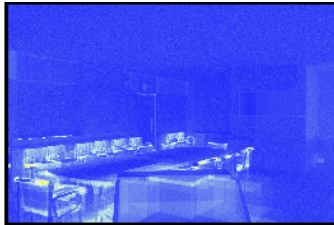
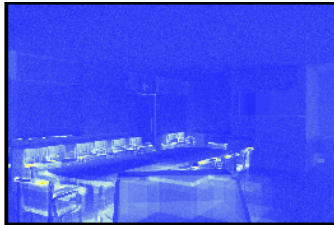
Boom	$k$	Killeroo Been		Sponza		Conference		Museum	
		R	B	R	B	R	B	R	B
$Kd$		100%	100%	100%	100%	100%	100%	100%	100%
$BSP_{IZE}$		94.1%	21 100%	165%	35 900%	105%	26 700%	88.2%	90 100%
$BSP_{IZE}^{Kd}$		95.0%	19 600%	109%	35 300%	92.5%	25 600%	84.7%	91 800%
$BSP_{wn+}^{Kd}$	6	67.7%	11 300%	80.4%	9460%	78.6%	8650%	63.4%	11 500%
$BSP_{cn+}^{Kd}$	6	67.8%	11 700%	80.3%	9740%	79.3%	8840%	65.9%	12 100%
$BSP_{random+}^{Kd}$	10	80.2%	17 800%	85.5%	16 100%	87.1%	15 400%	78.4%	21 800%
$RBSP$	13	82.7%	25 100%	131%	23 700%	101%	22 300%	482%	25 000%
$RBSP^{Kd}$	13	83.5%	25 700%	94.2%	23 600%	92.9%	22 200%	78.1%	24 900%

## 5 Straal-driehoekintersecties

Boom	$k$	Killeroo Been		Sponza		Conference		Museum	
		ZI	SI	ZI	SI	ZI	SI	ZI	SI
$Kd$		100%	100%	100%	100%	100%	100%	100%	100%
$BSP_{I\bar{Z}E}$		73.1%	72.7%	390%	483%	128%	140%	73.1%	46.6%
$BSP_{I\bar{Z}E}^{Kd}$		76.2%	75.2%	157%	142%	83.4%	81.9%	57.5%	61.4%
$BSP_{wn+}^{Kd}$	6	19.0%	16.1%	58.6%	54.3%	47.1%	34.2%	27.0%	40.2%
$BSP_{cn+}^{Kd}$	6	18.7%	16.4%	59.3%	54.5%	53.7%	41.3%	28.5%	44.8%
$BSP_{random+}^{Kd}$	10	35.2%	35.8%	49.9%	53.8%	52.5%	52.0%	36.8%	52.3%
$RBSP$	13	44.3%	45.2%	209%	239%	98.3%	111%	1380%	600%
$RBSP^{Kd}$	13	42.4%	43.0%	78.0%	75.8%	73.3%	78.4%	55.1%	33.1%

## 5 *False color* afbeeldingen intersecties

►  $BSP_{wn+}^{Kd}$  vs  $Kd$



## 5 Inwendige knoopdoorkruisingen

Boom	$k$	Killeroo Been		Sponza		Conference		Museum	
		ZD	SD	ZD	SD	ZD	SD	ZD	SD
$Kd$		100%	100%	100%	100%	100%	100%	100%	100%
$BSP_{IZE}$		97.3%	101%	130%	128%	117%	115%	109%	98.4%
$BSP_{IZE}^{Kd}$		100%	102%	117%	109%	107%	107%	107%	103%
$BSP_{wn+}^{Kd}$	6	83.2%	83.9%	98.6%	99.6%	96.7%	96.5%	94.1%	90.6%
$BSP_{cn+}^{Kd}$	6	83.0%	85.0%	98.6%	99.5%	96.0%	97.0%	95.0%	94.0%
$BSP_{random+}^{Kd}$	10	95.8%	99.1%	108%	109%	108%	108%	106%	105%
$RBSP$	13	91.5%	96.1%	141%	138%	125%	127%	109%	97.1%
$RBSP^{Kd}$	13	95.3%	98.1%	117%	112%	110%	108%	105%	96.4%

## 5 $Kd$ knoopdoorkruisingen

Boom	$k$	Killeroo Been			Sponza		
		$Kd$	ZD $Kd$	SD $Kd$	$Kd$	ZD $Kd$	SD $Kd$
$Kd$		100%	100%	100%	100%	100%	100%
$BSP_{IZE}$		49.4%	0%	0%	50.9%	0%	0%
$BSP_{IZE}^{Kd}$		55.1%	88.3%	88.3%	55.6%	88.2%	90.9%
$BSP_{wn+}^{Kd}$	6	29.5%	72.8%	72.3%	36.6%	88.8%	89.3%
$BSP_{cn+}^{Kd}$	6	29.2%	72.8%	71.3%	36.5%	88.5%	89.0%
$BSP_{random+}^{Kd}$	10	30.2%	74.6%	72.3%	34.5%	83.5%	84.9%
$RBSP$	13	22.0%	0%	0%	26.3%	0%	0%
$RBSP^{Kd}$	13	29.8%	71.2%	70.9%	33.2%	77.9%	79.2%

Boom	$k$	Conference			Museum		
		$Kd$	ZD $Kd$	SD $Kd$	$Kd$	ZD $Kd$	SD $Kd$
$Kd$		100%	100%	100%	100%	100%	100%
$BSP_{IZE}$		49.8%	0%	0%	38.5%	0%	0%
$BSP_{IZE}^{Kd}$		58.4%	89.7%	91.0%	41.7%	87.1%	87.1%
$BSP_{wn+}^{Kd}$	6	44.1%	92.3%	92.6%	32.0%	88.8%	87.3%
$BSP_{cn+}^{Kd}$	6	43.2%	90.0%	90.8%	30.5%	87.1%	86.8%
$BSP_{random+}^{Kd}$	10	35.3%	84.1%	87.1%	21.3%	83.1%	83.6%
$RBSP$	13	25.1%	0%	0%	18.3%	0%	0%
$RBSP^{Kd}$	13	34.3%	80.4%	82.6%	22.2%	78.9%	78.4%



## 6 Outline

- ① Inleiding
- ②  $BSP$  bomen
- ③  $BSP_{SWEEP}$
- ④ Implementatie
- ⑤ Resultaten
- ⑥ Conclusie

## 6 Conclusie

- ▶  $BSP_{SWEEP}$ 
  - Nuttig en uitbreidbaar concept voor algemene  $BSP$  bomen
  - Lokale geometrie makkelijk in rekening te brengen
  - Beperkte bouwtijd door *sweeping*
- ▶ Variant met snelle  $Kd$  richtingen is superieur
- ▶  $BSP_{random+}^{Kd}$ 
  - In elke knoop andere splitsingsvlakken kiezen maakt de boom beter
- ▶  $BSP_{wn+}^{Kd}$  en  $BSP_{cn+}^{Kd}$ 
  - Splitsingsvlakken afhankelijk van lokale geometrie (normalen) maken de boom nog beter
  - Vermindering rendertijd met meer dan 20%
  - Vermindering straal-driehoekintersecties met meer dan 40%
  - Clustering lijkt geen voordeel te bieden

## 6 Toekomstig onderzoek

- ▶ Verbeteren bouwtijd
- ▶ Bepalen beste aantal richtingen (per diepte)
- ▶ Bepalen betere richtingen
- ▶ Focus op splitsen in disjuncte delen ipv SA kost

Bedankt voor jullie aandacht